

## طبقه‌بندی الگوهای سینوپتیکی بارش‌زا در سواحل دریای خزر

ام‌السلمه بابایی فینی<sup>\*</sup> – استادیار گروه جغرافیا، دانشگاه پیام نور  
ابراهیم فتاحی – دانشیار پژوهشکده هواشناسی

پذیرش مقاله: ۱۳۹۲/۰۴/۲۷ تأیید نهایی: ۱۳۹۲/۱۱/۲۹

### چکیده

با توجه به وجود ارتباط تنگاتنگ میان الگوهای گردش جوی و عناصر اقلیمی، می‌توان پدیده‌های فرین آب‌وهایی، مانند سیل و خشکسالی و دوره‌های خشک و تر را به تغییرات الگوهای گردش جوی نسبت داد. برای طبقه‌بندی الگوهای سینوپتیکی بارش‌زا، داده‌های گردآوری شده میانگین روزانه تراز ۵۰۰ هکتاریاسکال و فشار سطح دریا طی دوره آماری ۱۹۵۰-۲۰۰۸ مورد استفاده قرار گرفت و برای ارزیابی نقشه الگوهای بارش، داده‌های مجموع بارش روزانه طی دوره آماری ۱۹۶۰-۲۰۰۸ جمع‌آوری شدند. با استفاده از روش تحلیل مؤلفه‌های اصلی، همه روزهای مورد مطالعه را به هجده گروه تقسیم‌بندی شدند و پس از آن، نقشه‌های ترکیبی تراز ۵۰۰ هکتاریاسکال و فشار سطح دریا بر احتمال وقوع بارش و شدت بارش، شاخص PI مورد استفاده قرار گرفت. نتایج پژوهش حاضر نشان داد، الگوهای گردش جوی CP4، CP5، CP1، CP12، CP15 و CP6، جزء الگوهای بارش‌زا شدید و فراگیر و الگوهای گردش جوی CP13، CP16، CP17 و CP18، جزء الگوهای بارش‌زا ملایم هستند. از نظر توزیع فراوانی سالانه، الگوهای گردش جوی ۳، CP5 و CP13 در سرتاسر سال و الگوهای گردش جوی CP2، CP6 و CP10 در فصل تابستان، فعالیت دارند.

کلیدواژه‌ها: الگوهای گردش جوی، تحلیل مؤلفه‌های اصلی، خوشبندی، سواحل جنوبی دریای خزر،  
شاخص PI

### مقدمه

الگوهای گردش جوی نقش اصلی را در رخداد پدیده‌های محیطی، بهویژه در مناطق معتدل‌هه دارند. برخی از الگوهای گردش جوی، سبب ایجاد دوره‌های مرطوب و برخی دیگر موجب ایجاد دوره‌های خشک و کم آبی می‌شوند. بنابراین از آنجایی که وقوع رخدادهای خشکسالی و ترسالی ریشه در گردش عمومی جو دارد با شناخت الگوهای گردش جوی،

امکان بررسی این پدیده‌ها قبل از وقوع و نیز، ارزیابی آثار آنها تا حدودی فراهم می‌شود (فتاحی و رحیم‌زاده، ۱۳۸۸: ۳۸). پژوهش‌های انجام‌شده نشان می‌دهد که پدیده‌های سیل و خشکسالی، متأثر از الگوهای گردش جوی است (باردوسی و کاسپیری، ۱۹۹۰؛ باردوسی و پلیت، ۱۹۹۲؛ بوگاردی و متیاسوزکی، ۱۹۹۴ و ۱۹۹۲؛ فتاحی، ۱۳۸۳؛ مفیدی و زرین، ۱۳۸۴؛ لشکری، اصغرپور و متکان، ۱۳۸۷؛ خوشحال و خسروی، ۱۳۸۸؛ فلاخ قاله‌ری، موسوی بایکی، حبیبی نوخدان و خوشحال، ۱۳۸۸؛ محمدی و مسعودیان، ۱۳۸۹؛ قادری و علیجانی، ۱۳۸۹؛ کاشکی، مسعودیان و حسینی، ۱۳۹۰؛ لشکری، قائمی، حجتی و امینی، ۱۳۹۱؛ شبانکاری و حلبیان، ۱۳۹۱؛ رسولی، بابائیان، قائمی و زواررضا، ۱۳۹۱؛ خوش‌اخلاق، نبوی و عباسی، ۱۳۹۱؛ حلبیان، پورجزی و صابری، ۱۳۹۱؛ باقری، ۱۳۹۲؛ آرزومندی و حجازی‌زاده، ۱۳۹۲ و نجف‌پور، ۱۳۹۲). طبقه‌بندی الگوهای گردش جوی روزانه، از گذشته مورد توجه اقلیم‌شناسان بوده است. بررسی متغیرهای اقلیم‌شناسی، مانند بارش و دما در یک مکان و زمان معین، نشان می‌دهد که این متغیرها به شدت تحت تأثیر الگوهای گردش جوی هستند. از این رو متغیرهای هواشناسی، مانند بارش و دما و پدیده‌های وابسته به آنها مانند سیل، خشکسالی، یخ‌بندان‌ها و... به انواع ویژه‌ای از الگوهای گردش جوی مربوط می‌شوند (هوث، ۱۹۹۶: ۸۹۵).

افرادی مانند برایسون و رومر (۱۹۶۶: ۲۲۴)، اولین پژوهش‌گرانی بودند که تکنیک PCA را برای مطالعات اقلیم‌شناسی سینوپتیک به کار گرفتند. ریچمن (۱۹۸۱: ۱۱۴۹) از نخستین کسانی بود که با استفاده از PCA و CA به طبقه‌بندی الگوهای گردش جوی و بررسی ارتباط آنها با متغیرهای اقلیمی در مقیاس روزانه پرداخت. بویشاند و براندسمای (۱۹۹۷) مقایسه‌ای از طبقه‌بندی الگوهای گردشی برای پیش‌بینی دما و بارش در هلند را انجام دادند و نتیجه گرفتند الگوهای گردشی حدود ۳۰ تا ۴۰ درصد تغییرات دما و بارش را توجیه می‌کنند و با طبقه‌بندی این الگوهای گردشی، پیش‌بینی تغییرات دما و بارش امکان‌پذیر می‌شود. چن و هلسستورم (۱۹۹۹) تأثیر نوسان اطلس شمالی را روی تغییرات مکانی و زمانی درجه حرارت بررسی کردند. نتایج آنها ارتباط قوی بین نوسان اطلس شمالی و تغییرات درجه حرارت را نشان داد. هرچند تأثیرگذاری نوسان اطلس شمالی با توجه به زمان و مکان متفاوت است، اما به منزله یک عامل مهم برای مدل آماری ریزمقیاس‌سازی در نظر گرفته شد. واپینگ (۱۹۹۹) بارش اروپا را در ارتباط با الگوهای گردشی سطح ۵۰۰ هکتوپاسکال بررسی کرد. وی الگوهای گردشی را مؤلفه‌های اصلی این پژوهش در نظر گرفت و آن را در سطح ۵۰۰ هکتوپاسکال در توزیع بارش فصل زمستان اروپا مورد بررسی قرار داد. پنج الگوی برجسته، شامل نوسان اطلس شمالی، اسکاندیناوی، اروپای مرکزی، شرق اروپا و شرق اقیانوس اطلس بر توزیع بارش منطقه تأثیرگذار است که نوسان اطلس شمالی بیشترین تأثیر را بر بارش غرب اروپا دارد. رومر، سامر، رامیس و گنووس (۱۹۹۹: ۷۷۲) با استفاده از روش PCA و خوش‌بندی، نوزده الگوی گردش جوی وابسته به روزهای بارشی مدیترانه‌ای اسپانیا را برای دو سطح ۹۲۵ و ۵۰۰ هکتوپاسکال تهییه و ارتباط آنها را با الگوهای مکانی بارش منطقه بررسی کردند. الگوهای گردشی به دست‌آمده شامل طیف گسترده‌ای از جریان‌ها روی شبۀ جزیره ایبری، با تمایز روش‌ن بین اقیانوس اطلس و آشفتگی‌های مدیترانه غربی است. در این بررسی ارتباط بین الگوهای گردشی و بارش‌های سیل آسا مشخص شد. کریچک، تسی دولک و آپرت (۲۰۰۰) الگوهای سینوپتیکی مرتبط با دوره‌های پربارش و کم‌بارش شرق مدیترانه را بررسی کردند. نتایج آنها نشان داد که در طول ماههای مرطوب، یک تراف بین سیبری و شرق مدیترانه ایجاد می‌شود و در طول ماههای

خشک، پُرفشار سیبری وسیع‌تر شده و فشار کم‌سطح زمین تا بخش مرکزی شمال مدیترانه جابه‌جا می‌شود. استبان، جونز، مارت و مَسَس (۳۲۵: ۲۰۰۵) نیز با استفاده از روش PCA و خوشبندی چند‌هسته‌ای، الگوهای گردش جوی سطح دریا و ۵۰۰ هکتوپاسکال را برای اروپای جنوب غربی تعیین و ارتباط آنها را با بارش‌های سنگین برف در کشور آندورا مورد بررسی قرار دادند. علیجانی (۲۰۰۲) با بررسی توپوگرافی سطح ۵۰۰ هکتوپاسکال، توانست دو ناوۀ خزر و سوریه را که نقش مهمی در کنترل آب‌وهای ایران دارند، شناسایی و معرفی کند. علیجانی در این بررسی نشان داد که ناوۀ‌ها و پشتۀ‌هایی که در نزدیکی ایران قرار می‌گیرند، بیشترین تأثیر را در آب‌وهای ایران می‌گذارند که از این میان، ناوۀ سوریه و مدیترانه مهم‌ترین نقش را به‌ویژه در بارش‌غرب کشور بر عهده دارند. رضیئی، بوردی، پریریا، کورتیال و سانتوز (۲۰۱۲) ارتباط بین الگوهای گردش جوی روزانه و دوره‌های خشک و مرطوب زمستان غرب ایران را بررسی کردند. در این مطالعه با استفاده PCA دوازده الگوی گردشی را به‌دست آوردن و با کمک SPI دوره‌های خشک و مرطوب را مشخص کردند. الیسون، تاکاشای، گیامبلوکا و دیاز (۲۰۱۳) ارتباط بین الگوهای گردش جوی با بارش‌های سنگین جزایر هاوای را بررسی کردند. در این مطالعه مدل آماری خردۀ مقیاس‌سازی استفاده شده است. نتایج گویای ارتباط قوی بین ناهنجاری‌های الگوهای گردش سینوپتیکی در شمال غرب هاوای و بخار آب منتقل شده از جنوب به شمال در تروپوسفر میانی است.

مرادی (۱۳۸۱) به تحلیل سینوپتیکی بارش‌های سواحل جنوبی دریای خزر در شش ماه سرد سال پرداخت و نتیجه گرفت بارش‌های شدید شمال کشور در تراز ۵۰۰ هکتوپاسکال، با حاکمیت پشتۀ روی دریای سیاه تا مرکز اروپا، شرق دریای مدیترانه و حضور ناوۀ عمیق در شرق دریای سیاه همراه است. رضایی (۱۳۸۲) سیستم‌های سینوپتیکی سیل‌زا را در جنوب دریای خزر و به صورت موردي در حوضۀ شفارود شناسایی کرد. در این پژوهش مشخص شد حدود ۷۱ درصد سیلاپ‌ها زمانی ایجاد می‌شود که محور ناوۀ مستقر در سطح ۵۰۰ هکتوپاسکال، در غرب خزر قرار گیرد. عامل ایجاد بقیۀ سیلاپ‌ها، واچرخندها و چرخندۀ سطح زمین است. مرادی (۱۳۸۵) وقوع سیلاپ‌های ساحل جنوبی دریای خزر را بر اساس موقعیت سینوپتیکی پیش‌بینی کرد و نتیجه گرفت سه نوع توده هوا و سیستم فشاری، شامل سیستم‌های فشار، چرخندها و واچرخندۀ مهاجر، در ریش بارش سواحل جنوبی دریای خزر مؤثر هستند که از بین این سه عامل، شدیدترین بارش‌ها مربوط به چرخندها و واچرخندۀ مهاجر است. مفیدی، زرین و جانباز قبادی (۱۳۸۶) الگوی سینوپتیکی بارش‌های شدید و حدی پاییزه در سواحل جنوبی دریای خزر را تعیین کردند. نتایج نشان داد بارش‌های شدید و حدی سواحل جنوبی دریای خزر، نتیجه سه الگوی سینوپتیکی اصلی (الگوی پُرفشار، کم‌پُرفشار و زوجی) هستند که از ۲۸ روز بارش شدید، ۱۶ روز نتیجه استقرار الگوی پُرفشار و تاوابی منفی ناشی از نفوذ زبانه پُرفشار در سواحل جنوبی دریای خزر، ۶ روز الگوی کم‌پُرفشار و ۶ روز باقی‌مانده نتیجه استقرار مرکز پُرفشاری در غرب - شمال غرب دریای خزر و مرکز کم‌پُرفشاری در شرق است. جانباز قبادی، مفیدی و زرین (۱۳۹۰) به شناسایی الگوهای سینوپتیکی بارش‌های شدید زمستانه در سواحل جنوبی دریای خزر پرداختند. نتایج پژوهش آنها نشان داد که بارش‌های شدید زمستانه در سواحل جنوبی دریای خزر، نتیجه استقرار سه الگوی پُرفشار، زوجی و کم‌پُرفشار روی منطقه خزری بوده و در تمامی الگوها، گردش واچرخندی همراه با بادهای شمالی در ترازهای زیرین جو بر دریای خزر تسلط دارد و به‌دلیل تسلط نزول شدید هوا بر نیمه شمالی و صعود شدید کم‌ضخامت در بخش جنوبی دریای خزر، یک رابطۀ الکلنگی بین نیمه شمالی و بخش جنوبی

دریای خزر در تمام روزهای بارشی مربوط به الگوی پرفشار وجود دارد. غیور، مسعودیان، آزادی و نوری (۱۳۹۰) به تحلیل زمانی و مکانی رویدادهای بارشی سواحل جنوبی دریای خزر پرداختند و برای شناسایی الگوهای بارش، از روش تحلیل مؤلفه‌های اصلی PCA و تحلیل خوشای CA استفاده کردند. نتایج نشان داده است که در همه گروههای بارشی (سبک، متوسط، سنگین و فوق سنگین)، ماه تیر و فصل تابستان، کمترین فراوانی رویدادها را دارند. عساکره، خوش رفتار و ستوده (۱۳۹۱) بارش‌های سنگین روزانه سپتامبر در ارتباط با الگوهای سینوپتیکی در استان گیلان (۲۰۰۵ - ۱۹۷۶) را بررسی کردند. نتایج بیانگر تأثیر سامانه‌های پرفشار (شمال غرب دریای سیاه، شمال روسیه - جنوب قطبی، شمال غرب اروپا - دریای نروژ، شمال دریای خزر و غرب دریای سیاه - دریای مدیترانه) بر بارش‌های سنگین است.

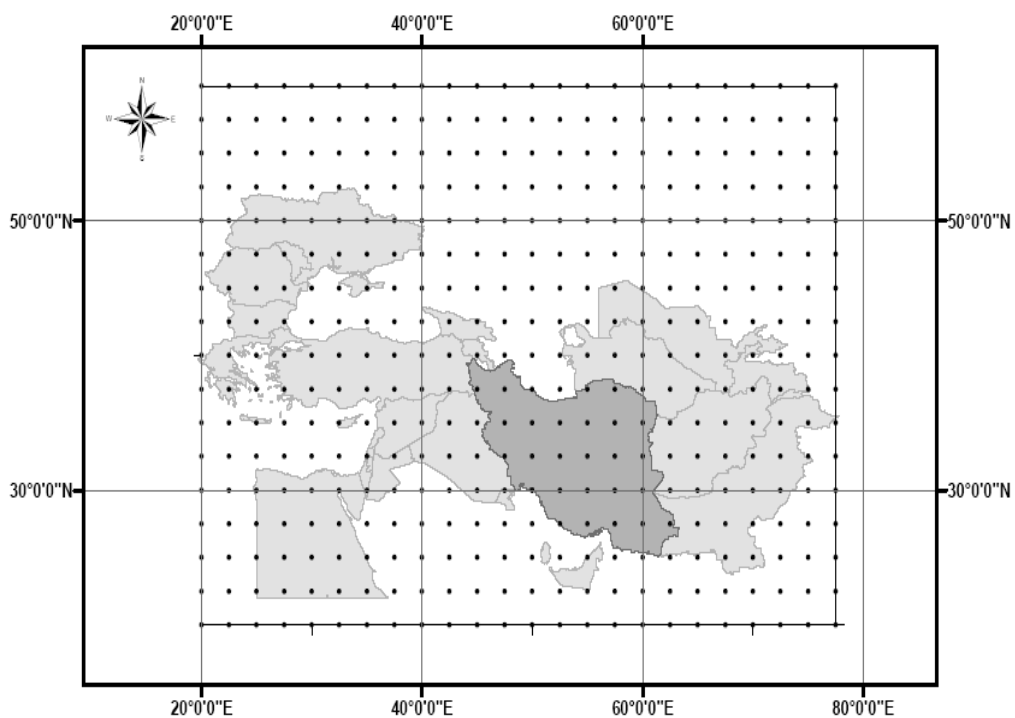
بررسی‌ها نشان می‌دهند که الگوهای گردش جوی شناسایی شده برای ایران، اغلب بر اساس داده‌های میانگین ماهانه جو تهیه شده‌اند. از سوی دیگر، بهدلیل اهمیت فصل زمستان که فصل اصلی بارش در ایران است، پژوهش‌های یاد شده، اغلب این فصل را مورد توجه و مطالعه قرار داده‌اند و شناسایی الگوی‌های گردش جو فصل‌های دیگر کمتر مورد توجه قرار گرفته است. از این رو، پژوهش پیش رو با هدف شناسایی الگوهای گردش جو روزانه برای تمامی ایام سال، در دو سطح ۵۰۰ هکتاریاسکال و سطح دریا متصرکز شده است. همچنین در این پژوهش، رابطه الگوهای گردش جوی بر احتمال وقوع بارش و شدت بارش با استفاده از شاخص PI مورد بررسی و ارزیابی قرار گرفته است. به‌گفته دیگر، هدف اصلی پژوهش، توسعه و به‌کارگیری یک روش سینوپتیکی برای تعیین رفتار الگوهای جوی و ارتباط آن با رخداد بارش در کرانه‌های دریای خزر است. اهداف مرحله‌ای این مطالعه عبارتند از: ۱. شناسایی الگوهای خشکی‌زا و بارش‌زا در سواحل دریای خزر و ۲. تعریف و تعیین گروههای الگوی گردش جوی به صورت روزانه در این منطقه.

## مواد و روش‌ها

در این پژوهش از داده‌های میانگین روزانه ۵۰۰ و فشار تراز دریا، طی دوره آماری ۱۹۵۰ - ۲۰۰۸ در تلاقي‌های ۲/۵ درجه از مجموعه داده‌های بازسازی شده، استفاده شده است. محدوده انتخاب شده، تمامی سامانه‌های مؤثر بر منطقه مورد مطالعه را در طول سال پوشش می‌دهد. این محدوده (شکل ۱) شامل ۴۰۸ یاخته از عرض ۲۰ تا ۶۰ درجه شمالی و ۱۰ تا ۷۰ درجه شرقی را دربردارد. از داده‌های مجموع بارش روزانه ایستگاه‌های سینوپتیک منتخب طی دوره آماری ۱۹۶۰-۲۰۰۸، برای ارزیابی نقش الگوها بر بارش استفاده شد (جداول ۱ و ۲).

جدول ۱. ویژگی ایستگاه‌های منتخب

ردیف	نام ایستگاه	طول جغرافیایی	عرض جغرافیایی	متغیر	دوره آماری
۱	بابلسر	۵۲-۳۹	۳۶-۴۳	مجموع بارش روزانه	۱۹۶۰ - ۲۰۰۸
۲	بندر انزلی	۴۹-۲۸	۳۷-۲۸	مجموع بارش روزانه	۱۹۶۰ - ۲۰۰۸
۳	رامسر	۵۰-۴۰	۳۶-۵۴	مجموع بارش روزانه	۱۹۶۰ - ۲۰۰۸
۴	گرگان	۵۴-۱۶	۳۶-۵۱	مجموع بارش روزانه	۱۹۶۰ - ۲۰۰۸
۵	رشت	۴۹-۲۸	۳۷-۲۸	مجموع بارش روزانه	۱۹۶۰ - ۲۰۰۸



شکل ۱. محدوده و شبکه مورد مطالعه برای طبقه‌بندی الگوهای گردش جوی

جدول ۲. ویژگی متغیرهای استفاده شده در پژوهش حاضر

ردیف	نام متغیر	مقیاس زمانی	دقت مکانی (درجه)	دوره آماری	مرجع
۱	ارتفاع تراز ۵۰۰ هکتوپاسکال	میانگین روزانه	۲/۵ × ۲/۵	۱۹۵۰-۲۰۰۸	NCEP
۲	فشار سطح دریا (SLP)	میانگین روزانه	۲/۵ × ۲/۵	۱۹۵۰-۲۰۰۸	NCEP
۳	مجموع بارش روزانه	روزانه	-	۱۹۶۰-۲۰۰۸	سازمان هواشناسی

## روش کار

بسیاری از محققان علوم جوی در برخورد با متغیرهایی با مقیاس‌های مختلف یا حجم گستردگی از داده‌ها، راهبرد کاهش متغیرها و داده‌ها را با استفاده از روش تحلیل مؤلفه‌های اصلی (PCA) در پیش گرفته‌اند. افرادی همچون گادگیل و لاینگر (۱۹۸۰) و کالکستین (۱۹۹۸) از این دسته محققان هستند. داده‌های استفاده شده در پژوهش حاضر حجم بسیار گستردگی دارد؛ به طوری که ماتریسی به ابعاد ۲۰۸۱۸ روز در ۴۰۸ یاخته را شامل می‌شود. برای طبقه‌بندی الگوهای گردش جوی، اغلب ماتریس آرایه  $S$  مورد استفاده قرار می‌گیرد. در ماتریس آرایه  $S$ ، ردیف‌ها بیانگر روزها و ستون‌ها نشان‌دهنده نقاط شبکه‌اند. در این مطالعه نیز داده‌ها بر اساس ماتریس آرایه  $S$  تنظیم شدند و از آرایه  $S$  و چرخش

واریماکس برای شناسایی تیپ‌های هوا استفاده شده است. از آنجا که باید حجم بسیار زیادی از داده‌ها تحلیل و طبقه‌بندی می‌شد، بنابراین بهترین گزینه، یعنی روش PCA به کار گرفته شد. PCA یک روش آماری چند متغیره است که بین تعداد زیادی از متغیرها که به ظاهر بی‌ارتباط هستند، رابطه خاصی را به صورت یک مدل برقرار می‌کند. روش PCA مؤلفه‌های جدیدی را ایجاد می‌کند که شامل مجموعه‌های خطی متعامد بر هم از متغیرهای اصلی هستند که هر کدام بخش کوچکی از واریانس کلی داده‌ها را توضیح می‌دهند.

مراحل محاسبه تحلیل مؤلفه‌های اصلی به شرح زیر آمده است:

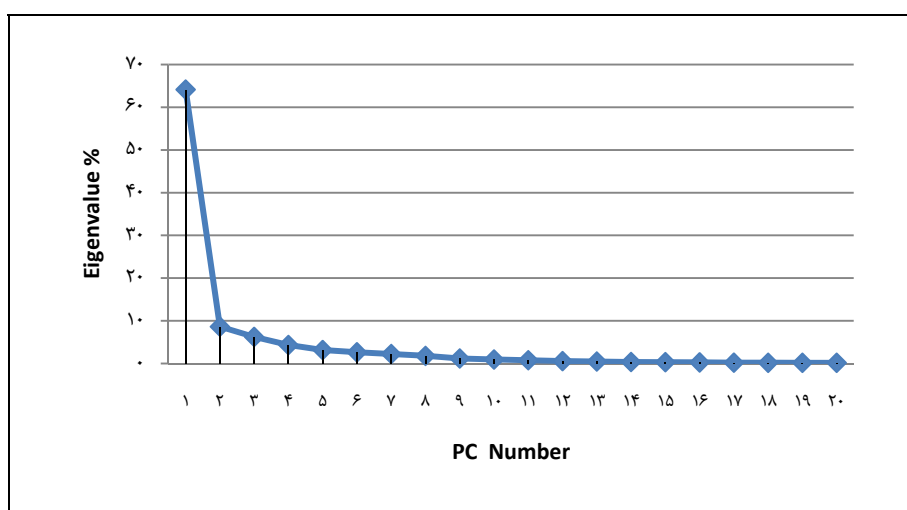
الف) انتخاب داده‌ها و متغیرها؛

ب) تشکیل یک ماتریس داده  $p \times n$  که در آن  $n$  تعداد روزها و  $p$  تعداد متغیرها است؛

ج) تنظیم یک ماتریس همبستگی داده‌ها بر اساس رابطه ۱؛

$$r_{xy} = \frac{\sum (xi - \bar{x})(yi - \bar{y})}{N_{sx,sy}} \quad \text{رابطه ۱}$$

د) استفاده از نمودار غربالی (پلکانی) برای تعیین تعداد مؤلفه‌ها؛ در این پژوهش با انجام روش PCA روی داده‌های تراز ۵۰۰ هکتوپاسکال، ۹ مؤلفه اول انتخاب شد. برای استخراج تعداد مؤلفه‌ها از روش نمودار غربالی استفاده شده است (شکل ۲)، همچنین انتخاب مؤلفه‌هایی که ارزش ویژه آنها بیشتر از یک درصد واریانس داده‌ها است (جدول ۳)، تأییدی بر صحت تعداد مؤلفه‌های نگه داشته شده برای ادامه تحلیل‌ها است. ۹ مؤلفه اصلی انتخاب شده درمجموع ۹۶٪ درصد کل داده‌ها را تبیین می‌کنند. از این رو ۹ مؤلفه برای بررسی و تحلیل بیشتر انتخاب و از بقیه مؤلفه‌ها که اهمیت زیادی نداشتند، صرف نظر شد.



شکل ۲. نمودار غربالی تحلیل مؤلفه‌های اصلی بر روی داده‌های ارتفاع ژئوبتانسیل تراز ۵۰۰ هکتوپاسکال

جدول ۳. درصد واریانس تبیین شده مؤلفه‌های انتخابی

شماره مؤلفه تبیین شده	درصد واریانس درصد تجمعی واریانس	شماره مؤلفه تبیین شده	درصد واریانس درصد تجمعی واریانس	شماره مؤلفه تبیین شده	درصد واریانس درصد تجمعی واریانس
۱	۶۴/۱	۶	۶۴/۱	۲/۶	۹۰/۸
۲	۹/۶	۷	۷۳/۷	۲/۴	۹۳/۲
۳	۶/۲	۸	۸۰/۰	۱/۸	۹۵/۰
۴	۴/۸	۹	۸۴/۸	۱/۲	۹۶/۲
۵	۳/۴	۸۸/۲			

ه) محاسبه ماتریس بارگویه‌ها؛ این بارگویه‌ها، در واقع ارتباط بین عامل‌ها و متغیرهای اولیه را نشان می‌دهند (علیجانی، ۱۳۸۱: ۲۰۹).

ز) خوشبندی؛ به منظور انتخاب تعداد گروه‌های (خوشه‌ها) مورد نیاز برای طبقه‌بندی و انتخاب هسته‌های آنها، راه حل‌های مختلفی وجود دارد. در این پژوهش برای انتخاب تعداد خوشه‌ها از روش پیشنهادی استبان و همکاران (۲۰۰۵) استفاده شده است. آنها برای شناسایی گروه‌ها و هسته‌های اولیه خوشه‌ها، روش نمره‌های استاندارد حدی را به کار برند؛ به این ترتیب که از نمره‌های استاندارد بیش از ۲ برای فاز مثبت و نمره‌های استاندارد کمتر از ۲ برای فاز منفی در خوشبندی چند هسته‌ای استفاده کردند. در پژوهش حاضر نیز با بهره‌گیری از روش پیشنهادی فوق، تعداد ۹ مؤلفه از روش PCA به دست آمد که هریک از آنها دارای دو فاز مثبت و منفی هستند. این مؤلفه‌ها به ۱۸ گروه (الگوی گردشی) تقسیم‌بندی شدند.

برای ارزیابی رابطه بین الگوهای گردش جوی و بارش، از شاخص PI استفاده می‌شود. این شاخص احتمال شرطی وقوع بارش و شدت بارش در یک الگوی گردشی را تعریف می‌کند (زانگ، ۱۹۹۵: ۶۸).

$$PI(i) = \frac{R_i / n_i}{R / n} \quad (2)$$

که در آن؛  $n_i$ : تعداد روزهای با الگوی  $i$ ؛  $R_i$ : مجموع بارندگی طی آن روزها؛  $R$ : مجموع بارش دریافتی در دوره زمانی مورد مطالعه و  $n$ : تعداد روزهای مورد مطالعه است. چنانچه  $1 < PI$  یا حتی خیلی کوچکتر از واحد شود، الگو یا تیپ هوای  $i$  دخالت زیادی در بارش آن منطقه ندارد. بنابراین افزایش در فراوانی وقوع چنین الگویی، موجب کاهش بارش و متعاقب آن خسکسالی در یک منطقه می‌شود. اگر شاخص PI طی دوره آماری بیشتر از واحد شود ( $1 > PI$ )، آنگاه احتمال بارش در آن منطقه نیز افزایش می‌باید و دوره مرتبط حاکم می‌شود.

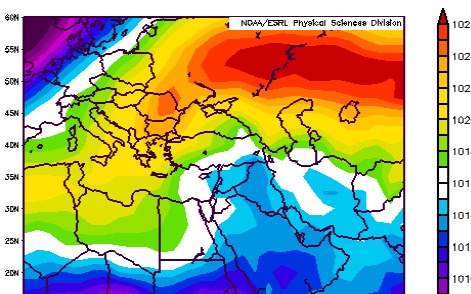
### یافته‌های پژوهش

براساس روش تحلیل مؤلفه‌های اصلی، تمام روزها در دوره آماری ۱۹۵۰-۲۰۰۸ به هجده گروه تقسیم‌بندی شدند و نقشه‌های ترکیبی فشار سطح دریا، تراز ۵۰۰ هکتوپاسکال برای هر یک از تیپ‌های هوا ترسیم شد. همچنین توزیع سالانه و

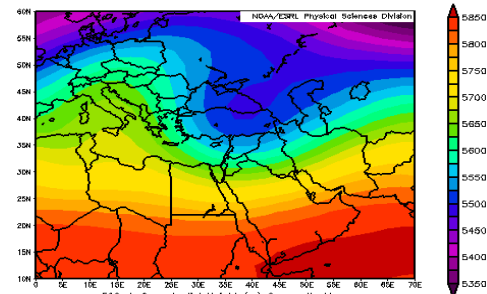
نقشهٔ شاخص PI برای هر یک از الگوهای گردش جوی طی دورهٔ زمانی ترسیم شد و الگوهای گردش جوی براساس ترتیب خروجی و براساس الگوهای فشار و نحوهٔ آرایش خطوط جریان نامگذاری شدند که به شرح زیر آمده است.

### الگوی گردش جوی CP1

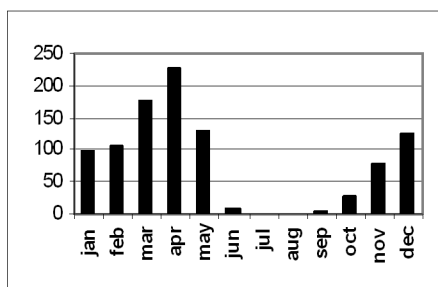
براساس نقشهٔ ترکیبی فشار تراز دریا (شکل ۲) الگوی گردش CP1، مرکز پرفشاری با ۱۰۲۸ هکتوپاسکال روی شمال سیبری استقرار دارد و زبانهٔ کم‌فشاری از روی عربستان و شمال آفریقا، به سمت عرض‌های میانی و تا شرق دریای مدیترانه امتداد دارد. در تراز ۵۰۰ هکتوپاسکالی، کمارتفاصلی از شمال شرق اروپا در جهت جنوب - جنوب غرب تا عراق و شمال عربستان امتداد یافته است؛ به‌طوری که بخش شرقی این تراف در غرب ایران واقع شده است. در این الگو سامانهٔ بارشی شرق دریای مدیترانه از شمال غرب و شمال ایران عبور می‌کند. افزایش حرکت صعودی هوای مرطوب سواحل، در شرق ناوه سبب افزایش شرایط بارش از طریق افزایش شرایط رشد ابرهای هم‌رفتی در سواحل دریای خزر می‌شود. این شرایط می‌تواند ریزش بارش‌های سنگین در استان‌های ساحلی دریای خزر را به‌همراه داشته باشد. با توجه به نتایج شاخص PI، ملاحظه می‌شود که شاخص فوق در کرانهٔ دریای خزر بزرگ‌تر از یک است و سهم چشمگیر این الگو را در تولید بارش منطقه نشان می‌دهد. الگوی حاضر جزء الگوهای بارش‌زا شمرده می‌شود. توزیع فراوانی الگو بجز فصل تابستان، در بقیهٔ فصول سال جریان دارد (شکل ۳).



الگوی میانگین فشار تراز دریا



الگوی میانگین ارتفاع ژئوپتانسیل ۵۰۰ هکتوپاسکال



توزیع سالانه الگوهای گردش

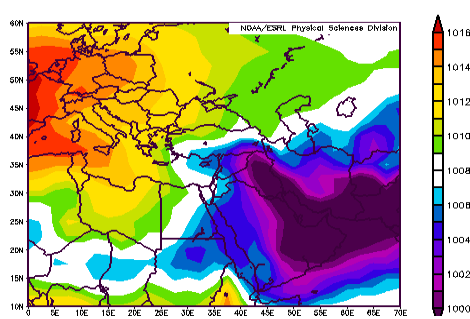


الگوی میانگین مربوط به شاخص PI

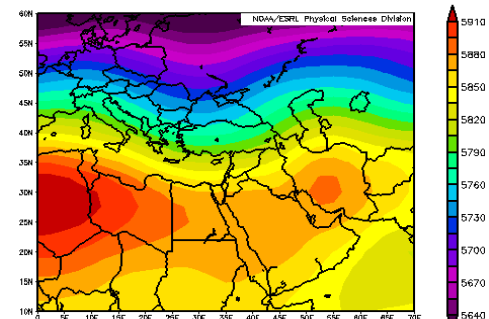
شکل ۳. الگوهای گردش جوی CP1 بر حاور میانه طی دورهٔ آماری (۱۹۵۰-۲۰۰۸)

### الگوی گردش جوی CP2

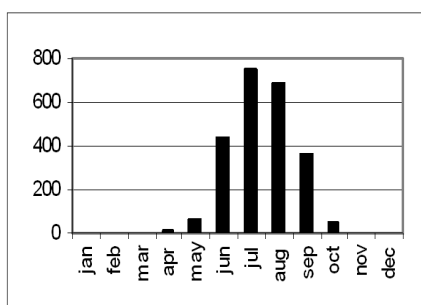
با توجه به نقشهٔ ترکیبی فشار تراز دریا، کم‌فشار قوی و گستردگی‌های با مرکز ۱۰۰۰ هکتوپاسکال روی پاکستان، ایران، دریای عمان و شمال شرق شبه‌جزیره عربستان استقرار دارد. در این الگو دیده می‌شود که پر ارتفاع جنوب حاره‌ای تابستانه بر منطقه گسترده شده است. این وضعیت که با حرکت نزولی هوا همراه است، مانع عبور سامانه‌های بارشی از منطقهٔ مطالعاتی می‌شود. بنابراین در این الگو، افزون بر کاهش شدید فراوانی عبور سامانه‌های بارشی از روی منطقه، نشست هوا و نبود حرکت صعودی سبب می‌شود تا شرایط محلی نیز برای ایجاد بارش در منطقه فراهم نباشد. شاخص PI مربوط به تیپ هوای CP2 در تمامی منطقهٔ صفر است. افزایش فراوانی الگوی فوق رخداد دوره‌های خشکسالی را به‌همراه دارد. توزیع فراوانی سالانه این الگو، بیانگر تابستانه بودن آن است (شکل ۴).



الگوی میانگین فشار تراز دریا



الگوی میانگین ارتفاع ژئوپتانسیل ۵۰۰ هکتوپاسکال



توزیع سالانه الگوهای گردش



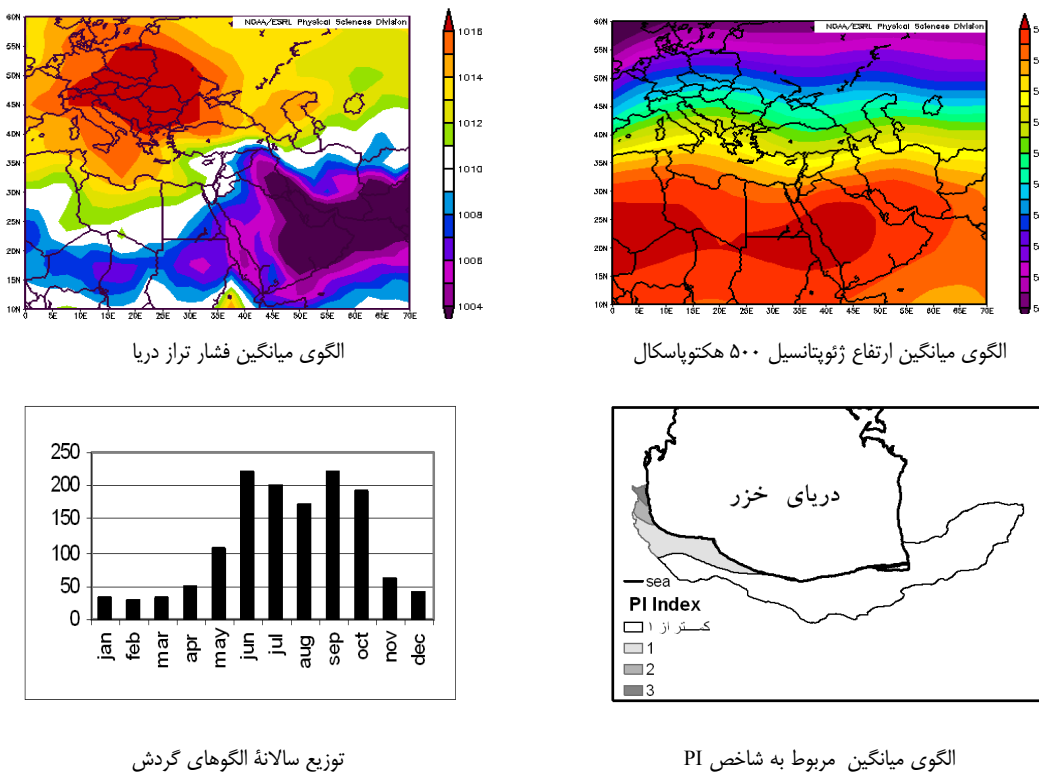
الگوی میانگین مربوط به شاخص PI

شکل ۴. الگوهای گردش جوی CP2 روی خاورمیانه طی دورهٔ آماری (۱۹۵۰-۲۰۰۸)

### الگوی گردش جوی CP3

در این الگو، مرکز پرفشار روی اروپای مرکزی است و مانند الگوی CP2 استقرار و حاکمیت کم‌فشار قوی و گستردگی‌های با مرکز ۱۰۰۰ هکتوپاسکال روی پاکستان و دریای عمان، شمال شبه‌جزیره عربستان، خلیج فارس و نواحی جنوبی و غربی ایران را تحت تأثیر خود قرار داده است. طبق نقشهٔ ترکیبی تراز ۵۰۰ هکتوپاسکال، زبانه‌های پر ارتفاع از سمت شمال آفریقا تا نواحی شبه‌جزیره عربستان و نواحی مرکزی ایران گسترش یافته است. در این الگو با وجودی که پر ارتفاع جنوب

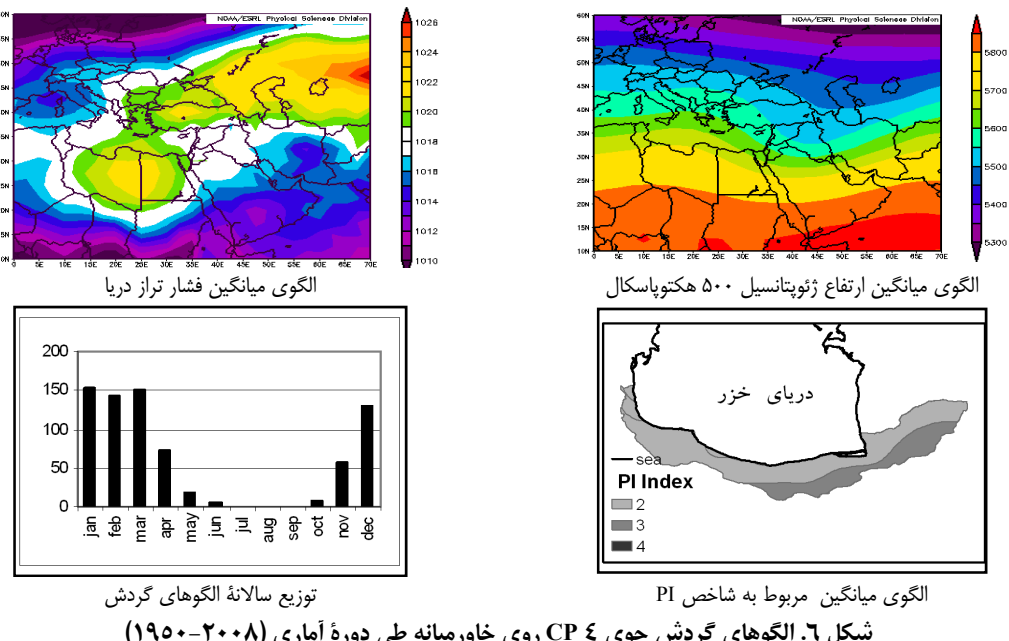
حراهای به سوی عرض‌های پایین‌تر جابه‌جا شده است، ولی هنوز شرایط برای عبور سامانه‌های بارشی در نوار شمالی کشور فراهم نیست. با این وضعیت فقط سامانه‌های بارشی فعال می‌توانند از شمال غرب و غرب دریای خزر عبور کنند و سبب بارش در منطقه فوق شوند که تعداد آنها زیاد نیست. فقط در بخش کوچکی از نواحی غربی استان گیلان، شاخص PI بیانگر بارش‌های پراکنده و ملایم است. الگوی حاضر در دسته‌الگوهای خشکی‌زا قرار می‌گیرد. توزیع فراوانی سالانه، نشان‌دهنده گسترش این الگو در کل سال است (شکل ۵).



شکل ۵. الگوهای گردش جوی CP<sup>۳</sup> روی خاورمیانه طی دوره آماری (۱۹۵۰-۲۰۰۸)

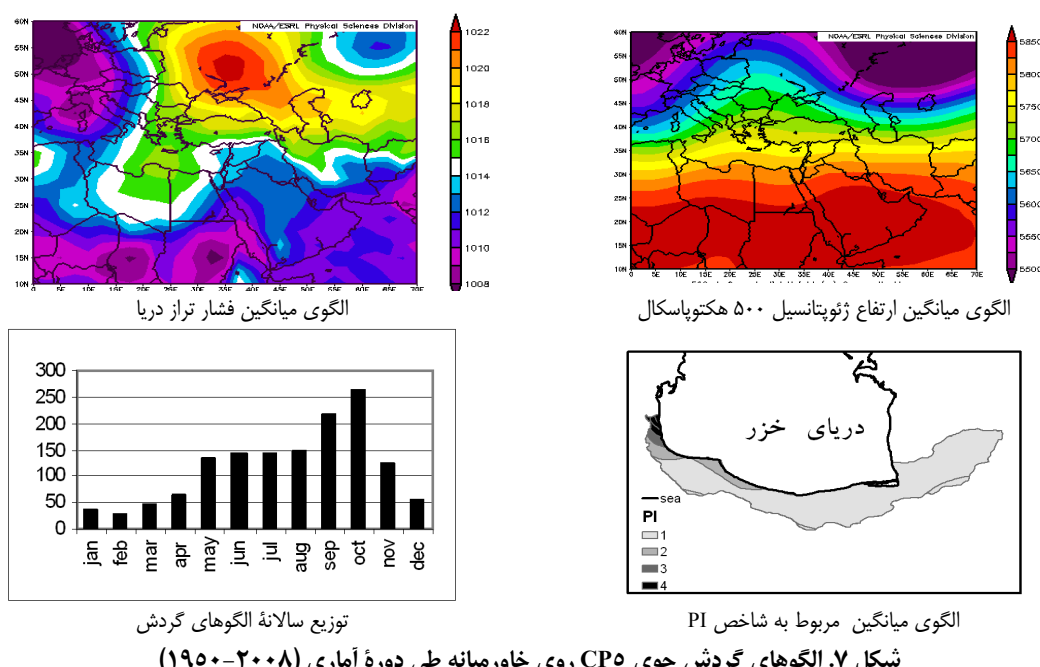
## الگوی گردش جوی CP<sup>4</sup>

نقشهٔ فشار تراز دریا، بیانگر وجود پرفشاری روی سیبری با مرکز ۱۰۲۸ هکتوپاسکال است. این پرفشار پس از عبور از شمال شرق ایران، به سوی سواحل دریای خزر و محدوده مورد مطالعه امتداد یافته است. الگوی ترکیبی مربوط به تراز ۵۰۰ هکتوپاسکال، بیانگر استقرار تراف روی سوریه و عراق است. در این الگو سامانه‌های بارشی در حرکت به طرف شرق، به تناب از منطقه مطالعاتی عبور می‌کنند و سبب بارش در سواحل دریای خزر می‌شوند. شرایط محلی سواحل دریای خزر، مانند نم نسبی زیاد، تضاد دمایی بین آب و خشکی و عامل کوهستان نیز، به افزایش بارش در منطقه کمک می‌کند. نقشهٔ مربوط به شاخص PI در تمامی منطقه مورد مطالعه بزرگتر از یک است. این الگو یک الگوی زمستانه است و در فصل تابستان فعالیتی ندارد (شکل ۶).



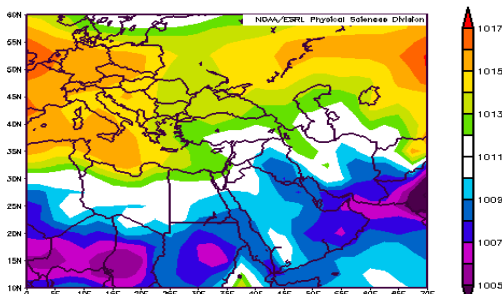
### الگوی گردش جوی CP5

نقشهٔ ترکیبی فشار تراز دریای این الگو، بیانگر وجود پرفشار در شمال دریای سیاه با مرکز ۱۰۲۲ هکتوپاسکال است. نقشهٔ ترکیبی تراز ۵۰۰ هکتوپاسکال، مداری بودن جریان‌ها را روی ایران نشان می‌دهد. در این الگو سامانه‌های بارشی از شمال دریای خزر عبور می‌کنند و فراوانی عبور آنها از نوار شمالی ایران کاهش می‌یابد. در این الگو برهمکنش جریان‌های شمالی روی دریای خزر و عامل کوهستان، سبب ایجاد حرکت صعودی و افزایش شرایط مساعد برای تشکیل ابرهای همرفتی و بارش‌های رگباری در منطقه می‌شود. احتمال وقوع بارش مربوط به تیپ هوای CP5 در منطقه بیشتر از یک است. از نظر توزیع سالانه، بیشترین فراوانی این الگو مربوط به ماه‌های می تا نوامبر می‌شود (شکل ۷).

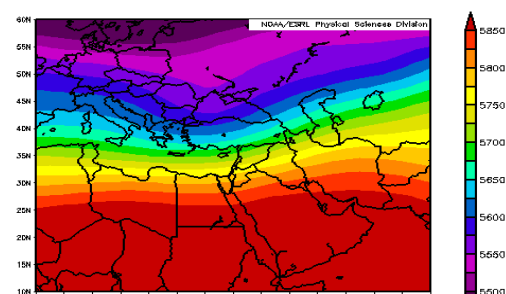


## الگوی گردش جوی CP6

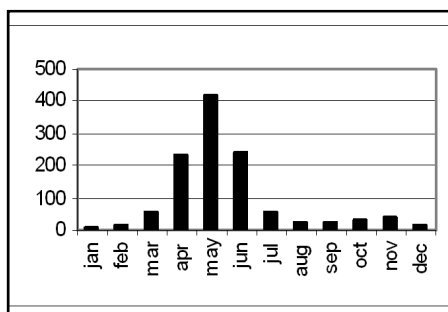
نقشهٔ ترکیبی فشار تراز دریا، استقرار کم‌فشاری با مرکز ۱۰۰۰ هکتوپاسکال را روی پاکستان نشان می‌دهد. نقشهٔ ترکیبی تراز ۵۰۰ هکتوپاسکال، بیانگر مداری بودن جریان‌ها روی ایران است. در این الگو، افزون بر نامناسب‌بودن شرایط برای عبور سامانه‌های بارشی از منطقهٔ مطالعاتی، شرایط محلی نیز برای ایجاد بارش نامناسب است. جریان‌های جنوبی در منطقه، سبب افزایش هوای گرم و مرطوب و افزایش دما می‌شود. گفتنی است که در بخش غربی کم‌فشار روی غرب دریایی خزر، جریان‌های شمالی می‌توانند شرایط محلی برای بارش‌های همرفتی فراهم کنند. الگوی مذکور در دستهٔ الگوهای تابستانه جای دارد. شاخص PI در تمامی منطقهٔ کمتر از یک است (شکل ۸).



الگوی میانگین فشار تراز دریا



الگوی میانگین ارتفاع زئوپتانسیل ۵۰۰ هکتوپاسکال



توزیع سالانه الگوهای گردش

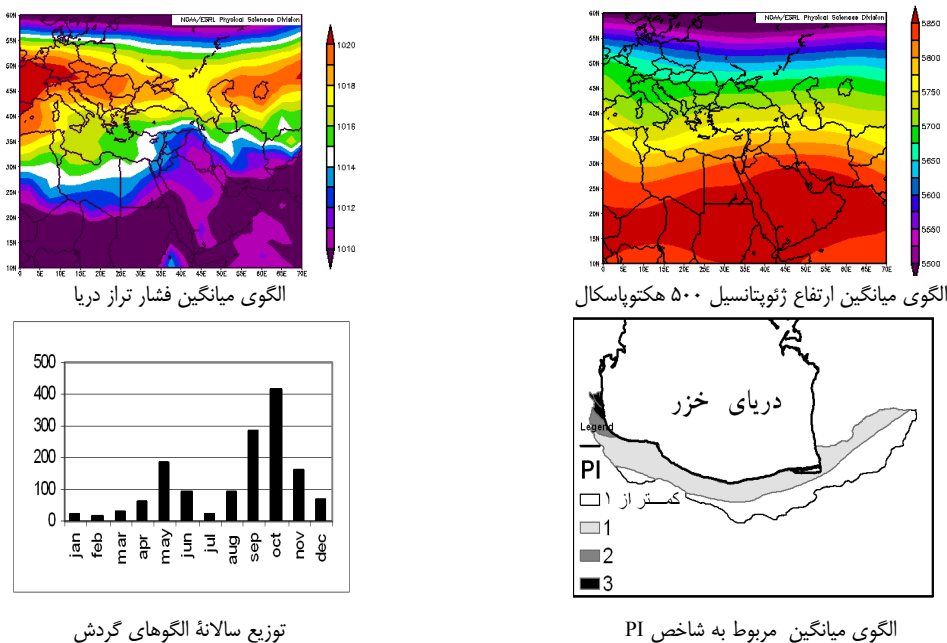


الگوی میانگین مربوط به شاخص PI

شکل ۸. الگوهای گردش جوی CP6 روی خاورمیانه طی دوره آماری (۱۹۵۰-۲۰۰۸)

## الگوی گردش جوی CP7

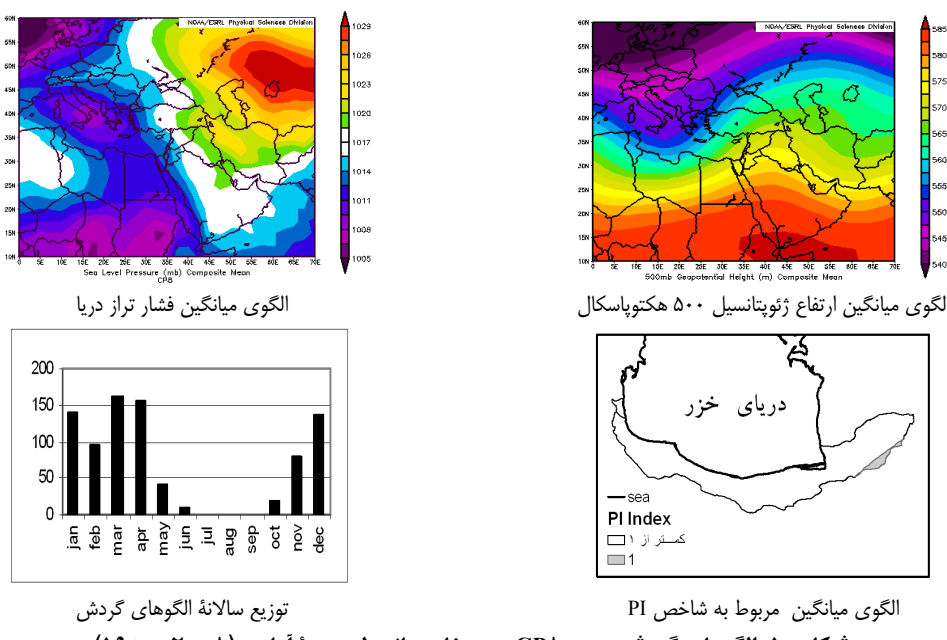
نقشهٔ ترکیبی فشار تراز دریا دو مرکز پرفشار را نشان می‌دهد. پرفشاری روی سیبری با مرکزیت ۱۰۲۰ هکتوپاسکال و دیگری روی اروپای مرکزی با ۱۰۲۲ بسته شده است. در این الگو به سبب وجود پشتۀ فشاری، سامانه‌های بارشی نمی‌توانند از منطقهٔ مطالعاتی عبور کنند، ولی هنگام نفوذ پرفشار اروپایی به سواحل دریایی خزر و ایجاد جریان‌های شمالی، شرایط محلی سبب ایجاد بارش‌های همرفتی ضعیفی در منطقه می‌شوند (شکل ۹).



شکل ۹. الگوهای گردش جوی ۷ CP روی خاورمیانه طی دوره آماری (۱۹۵۰-۲۰۰۸)

### الگوی گردش جوی CP8

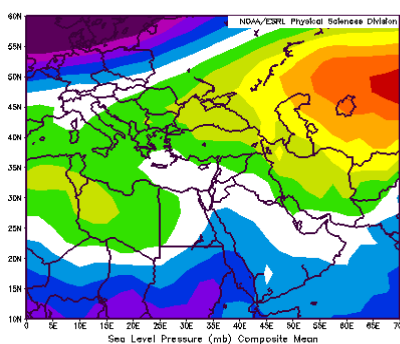
نقشه ترکیبی فشار تراز دریا، بیانگر استقرار پرفشار با مرکز  $10^{\circ}30'E$  هکتوپاسکال بر منطقه سیبری است. کرانه‌های دریای خزر نیز بهشدت تحت تأثیر جریان‌های پرفشار نامبرده هستند. نقشه ترکیبی تراز  $500$  هکتوپاسکال، نشان‌دهنده وجود جریان‌های موجی شکل است. در این الگوها، به‌سبب وجود پشتۀ ارتفاع و حاکمیت پرفشار در سواحل دریای خزر، شرایط برای عبور سامانه‌های بارشی مناسب نیست. همچنین پرفشار روی سیبری، سبب ایجاد جریان‌های جنوبی در سواحل دریای خزر می‌شود. این وضعیت موجب می‌شود تا شرایط محلی نیز برای بارش نامناسب شود (شکل ۱۰).



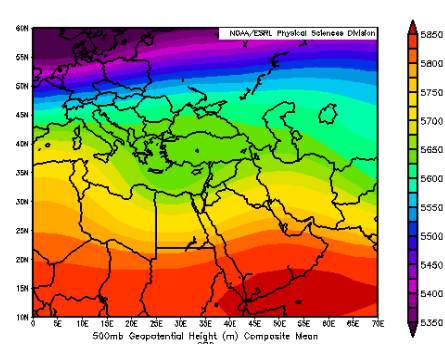
شکل ۱۰. الگوهای گردش جوی CP8 روی خاورمیانه طی دوره آماری (۱۹۵۰-۲۰۰۸)

## الگوی گردش جوی CP۹

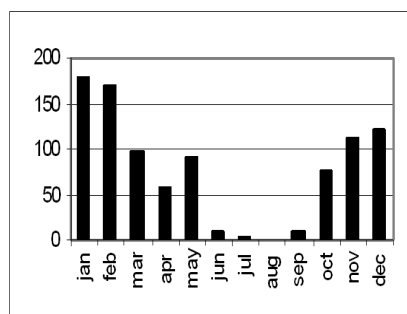
در این الگو فشار تراز دریا، بیانگر پرفشاری با مرکز ۱۰۳۰ هکتوپاسکال روی منطقه سیبری است که زبانه آن ترکیه و دریای سیاه را نیز دربرگرفته است. این پرفشار پس از عبور از شمال افغانستان، به سمت شرق، مرکز و غرب ایران امتداد یافته و استان‌های مورد مطالعه را تحت تأثیر قرار می‌دهد. نقشهٔ ترکیبی تراز ۵۰۰ هکتوپاسکال، نشان‌دهنده استقرار تراف بسیار گسترده و عمیق روی اروپای جنوبی و دریای مدیترانه است. نتایج شاخص PI نشان می‌دهد که این الگو در رده الگوهای خشکی‌زا برای کرانه‌های دریای خزر قرار می‌گیرد (شکل ۱۱).



الگوی میانگین فشار تراز دریا



الگوی میانگین ارتفاع ژئوپتانسیل ۵۰۰ هکتوپاسکال



توزیع سالانه الگوهای گردش

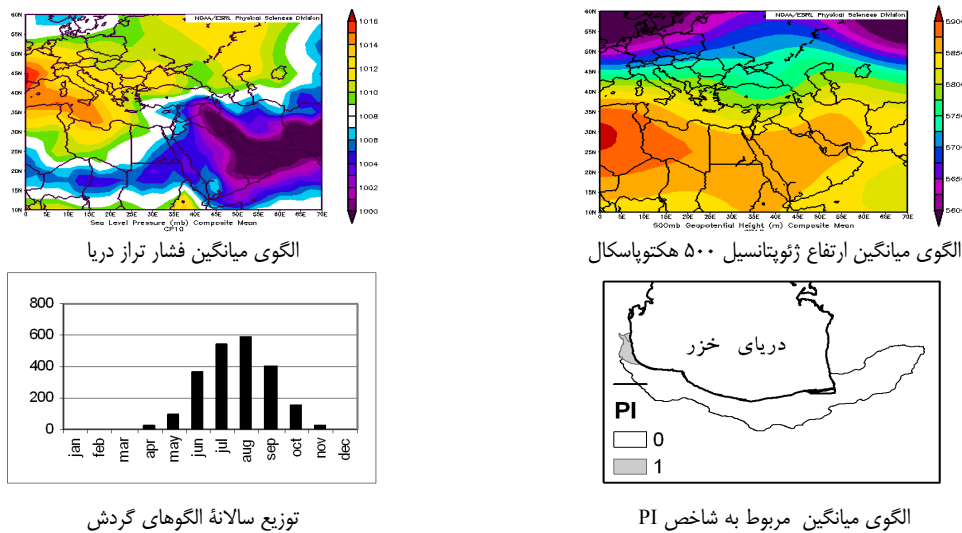


الگوی میانگین مربوط به شاخص PI

شکل ۱۱. الگوهای گردش جوی CP۹ روی خاورمیانه طی دوره آماری (۱۹۵۰-۲۰۰۸)

## الگوی گردش جوی CP۱۰

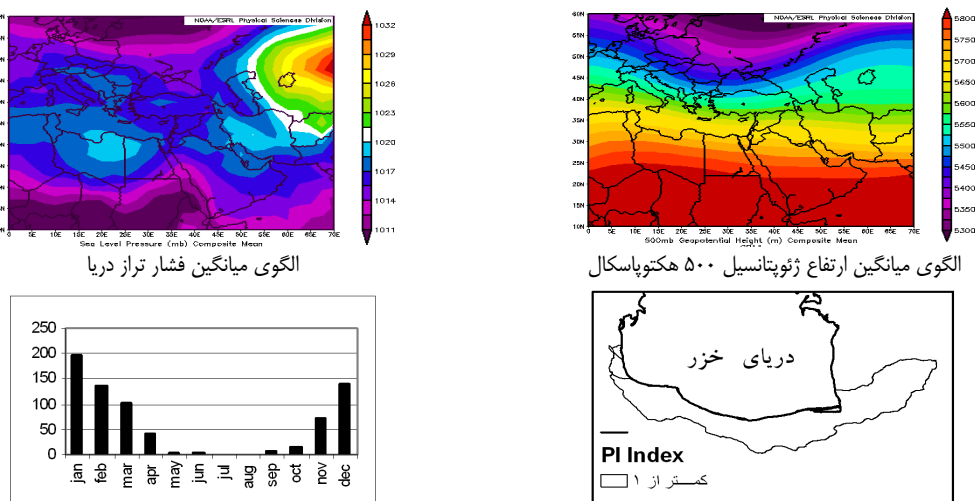
نقشهٔ فشار تراز دریا، حاکمیت کم‌فشار حرارتی بسیار گسترده‌ای با مرکز ۹۹۸ هکتوپاسکال را روی پاکستان، شمال دریای عمان، شرق شبه‌جزیره عربستان، خلیج فارس، غرب ایران و کشور عراق نشان می‌دهد. این الگو یک الگوی کاملاً تابستانه است که با کمی تغییر در الگوی گردش CP۲ نیز دیده می‌شود. در این الگو پشتۀ حاکم بر منطقه، مانع عبور سامانه‌های بارشی از نوار شمالی می‌شود، ولی با نفوذ پشتۀ فشاری به غرب دریای خزر، جریان‌های شمالی به همراه شرایط محلی، می‌توانند سبب بارش ضعیفی در غرب استان گیلان شوند. شاخص PI در تمامی ایستگاه‌ها کمتر از یک بوده، بنابراین فعالیت الگوی فوق شرایط خشکی‌زا و درنهایت خشکسالی را به دنبال دارد (شکل ۱۲).



شکل ۱۲. الگوهای گردش جوی CP10 روی خاورمیانه طی دوره آماری (۱۹۵۰-۲۰۰۸)

### الگوی گردش جوی CP11

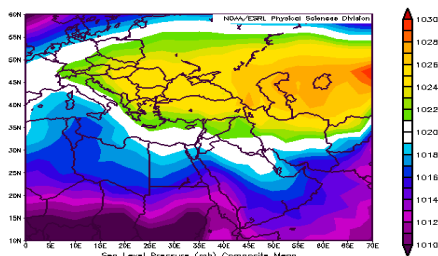
در این الگو فشار سطح دریا، نشان‌دهنده مرکز بسته ۱۰۳۲ هکتوپاسکال روی سیبری است که زبانه‌های مربوط به این پرفشار حرارتی تا نواحی اروپای جنوبی و دریای مدیترانه و خاورمیانه امتداد یافته است. در این الگو دیده می‌شود که سامانه‌های بارشی جنوب قطبی، نمی‌توانند به عرض‌های جغرافیایی پایین تا روی دریای مدیترانه تفوذ کنند. بنابراین این سامانه‌ها از عرض‌های بالا حرکت به طرف شرق را ادامه می‌دهند و نمی‌توانند در نوار شمالی ایران بارش تولید کنند. همچنین در این الگو جریان‌های شمالی در سواحل دریای خزر ایجاد نمی‌شود، پس بارش محلی نیز در این الگو رخ نمی‌دهد. با توجه به شاخص PI، ملاحظه می‌شود الگوی فوق تأثیر چندانی بر بارش‌های کرانه‌های دریای خزر نداشته و جزء الگوهای خشکی‌زا برای منطقه مورد مطالعه محسوب می‌شود. بیشترین فراوانی الگوی مذکور مربوط به دوره سرد سال است (شکل ۱۳).



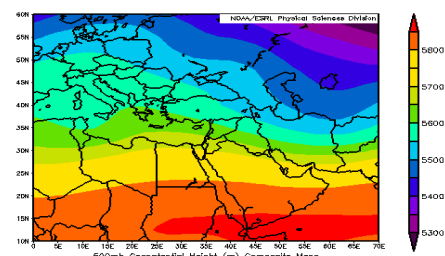
شکل ۱۳. الگوهای گردش جوی CP11 روی خاورمیانه طی دوره آماری (۱۹۵۰-۲۰۰۸)

## الگوی گردش جوی CP12

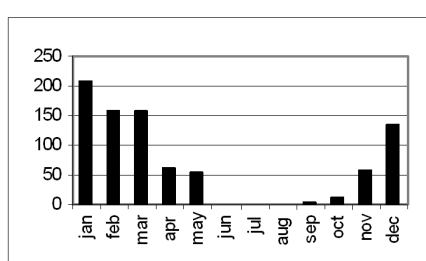
با توجه به نقشهٔ ترکیبی فشار سطح دریا، پرفشار سیبری با مرکز ۱۰۳۰ هکتوپاسکال و با امتداد شرقی - غربی، تمام نیمة شمال ایران را دربرگرفته است. در این الگو، فراوانی عبور سامانه‌های بارشی از نوار شمالی ایران افزایش می‌باید. گسترش پرفشار سیبری به نوار شمالی ایران، سبب ریزش هوای سرد و افزایش فعالیت بارشی سامانه‌های بارشی با هستهٔ سرد در منطقه می‌شود. با توجه به نقشهٔ شاخص PI، ملاحظه می‌شود که در تمام ایستگاه‌های مورد مطالعه، ضریب تأثیرپذیری بارش بیشتر از یک است و الگوی فوق نقش بسزایی در بارش منطقه دارد. تکرار الگوی حاضر، می‌تواند شرایط دوره‌های مرتبط و ترسالی را برای منطقه ایجاد کند. بیشترین فراوانی این الگو مربوط به دوره سرد سال است (شکل ۱۴).



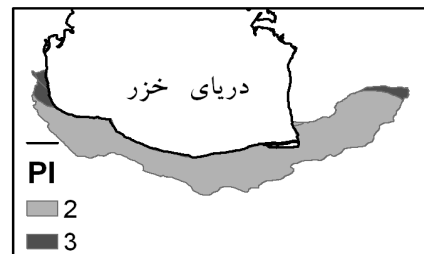
الگوی میانگین فشار تراز دریا



الگوی میانگین ارتفاع ژئوپتانسیل ۵۰۰ هکتوپاسکال



توزیع سالانه الگوهای گردش

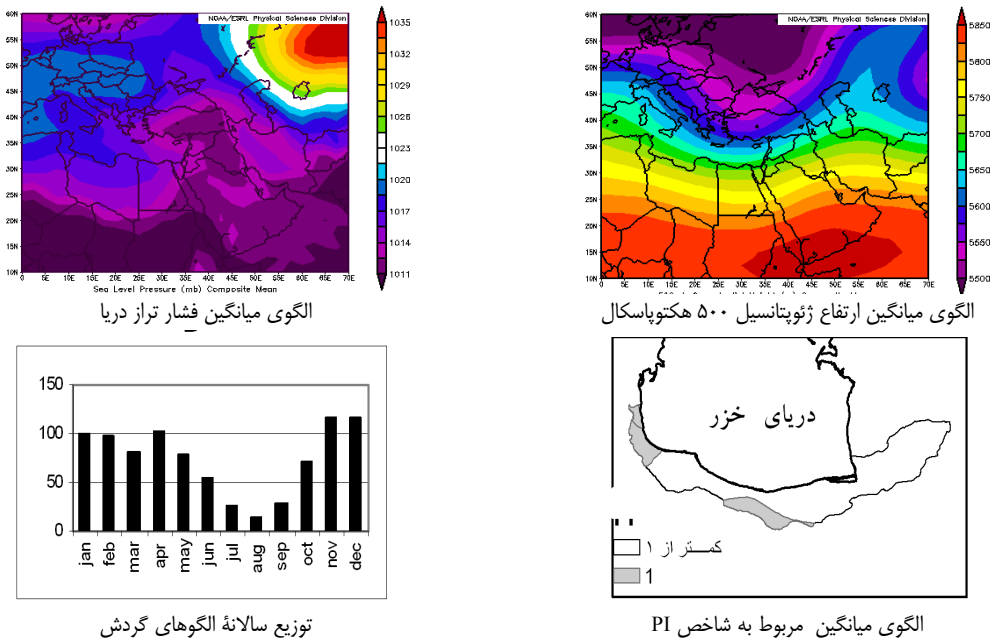


الگوی میانگین مربوط به شاخص PI

شکل ۱۴. الگوهای گردش جوی CP12 روی خاورمیانه طی دوره آماری (۱۹۵۰-۲۰۰۸)

## الگوی گردش جوی CP13

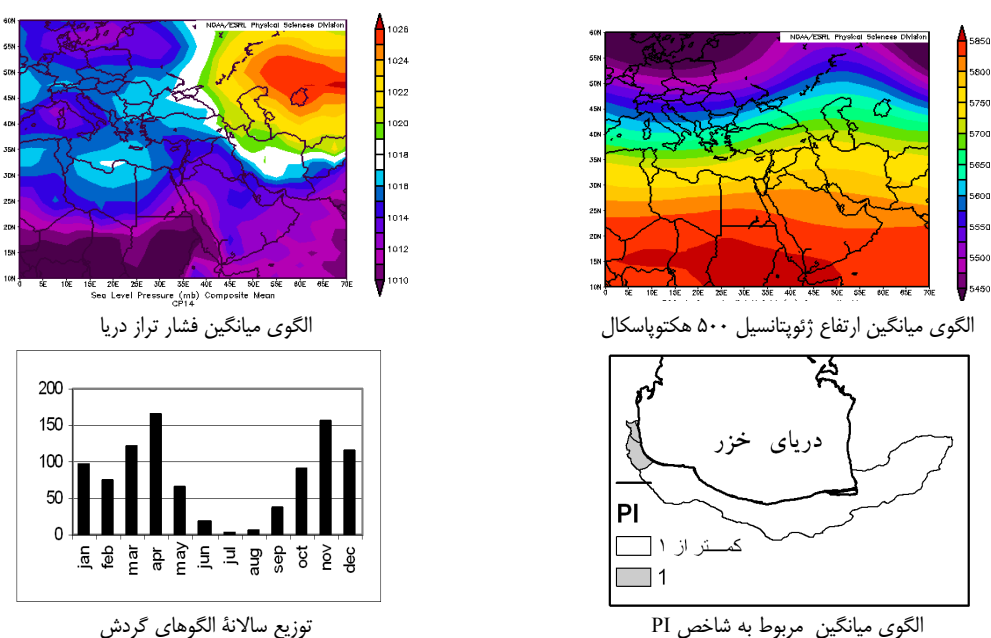
در این الگو پرفشاری با مرکز بسته ۱۰۳۵ هکتوپاسکال روی سیبری تشکیل شده است؛ به‌طوری که زبانه‌های ۱۰۲۰ هکتوپاسکال مربوط به این مرکز پرفشار با جریان‌های شرقی - غربی، پس از عبور از شمال افغانستان، به سمت خراسان شمالی و سواحل جنوب شرقی دریای خزر گسترش یافته است. در این الگو، به‌سبب نامناسب‌بودن الگوی فشاری سطح زمین، شرایط محلی به بارش ضعیف در ارتفاعات البرز و غرب دریای خزر منجر شده است. نتایج شاخص PI مربوط به این تیپ هوا نشان می‌دهد که محدوده‌ای از غرب استان گیلان و مازندران، تحت تأثیر منابع رطوبتی و بارش الگوی حاضر است. توزیع سالانه الگوی گردش جوی CP13، بیانگر فعالیت و گسترش جریانات آن در تمام ماههای سال است (شکل ۱۵).



شکل ۱۵. الگوهای گردش جوی CP1۳ روی خاورمیانه طی دوره آماری (۱۹۵۰-۲۰۰۸)

### الگوی گردش جوی CP14

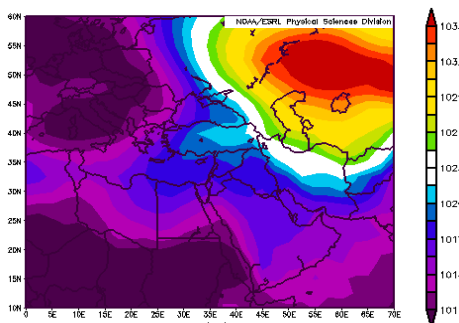
نقشهٔ ترکیبی فشار تراز دریا در این الگو، پرفشار ۱۰۳۰ هکتوپاسکال روی سیری با امتداد شرق - غرب تا دریای سیاه را نشان می‌دهد. در این الگو سامانه‌های بارشی از منطقه عبور نمی‌کنند، ولی در اثر جریان‌های شرقی روی دریای خزر، رطوبت مناسب بارش در غرب دریا را همگرا می‌کند و می‌تواند سبب ایجاد بارش ضعیف در سواحل غربی استان گیلان شود. الگوی یاد شده به غیر از ماه‌های تابستان، در بقیه ایام سال جریان دارد (شکل ۱۶).



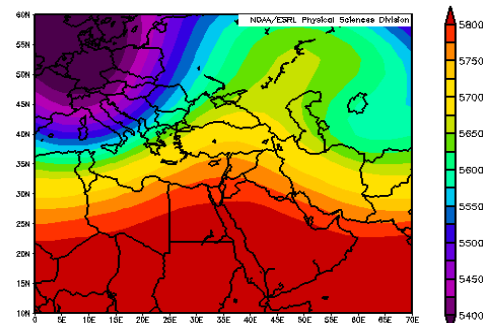
شکل ۱۶. الگوهای گردش جوی CP14 روی خاورمیانه طی دوره آماری (۱۹۵۰-۲۰۰۸)

## الگوی گردش جوی CP15

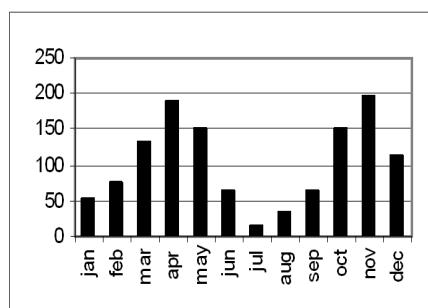
در این الگو نقشهٔ فشار تراز دریا، وجود پرفشاری روی منطقهٔ سیری با مرکز ۱۰۳۵ هکتوپاسکال را نشان می‌دهد؛ به طوری که زبانه‌های ۱۰۲۴ هکتوپاسکال مربوط به این پرفشار، پس از عبور از شمال افغانستان و شمال شرق ایران، به سمت سواحل جنوبی دریای خزر و استان‌های گلستان، گیلان و مازندران گسترش یافته است. در تراز ۵۰۰ هکتوپاسکال روی شمال غرب روسیه، آذربایجان، دریای سیاه و ترکیه تا جنوب دریای مدیترانه، پشتۀ بسیار گستردۀ عمیقی دیده می‌شود و در شرق دریای خزر و منطقهٔ آسیای میانه نیز، تراف عمیق فعال است. در این الگو سامانه‌های بارشی از روی دریاچه اورال به شرق دریای خزر نفوذ می‌کنند؛ به طوری که محور تراف مورب آن می‌تواند تا غرب دریا خزر نفوذ کند و سبب بارش در منطقهٔ مطالعاتی شود. با توجه به نقشهٔ شاخص PI، ملاحظه می‌شود که الگوی حاضر نقش چشمگیری در بارش‌های استان‌های گیلان مازندران و بهویژه در استان گلستان دارد. بنابراین تکرار الگوی حاضر می‌تواند باعث ایجاد ترسالی شود. بیشترین فراوانی این الگو مربوط به فصل بهار و پاییز است (شکل ۱۷).



الگوی میانگین فشار تراز دریا



الگوی میانگین ارتفاع ژئوبتانسیل ۵۰۰ هکتوپاسکال



توزیع سالانه الگوهای گردش



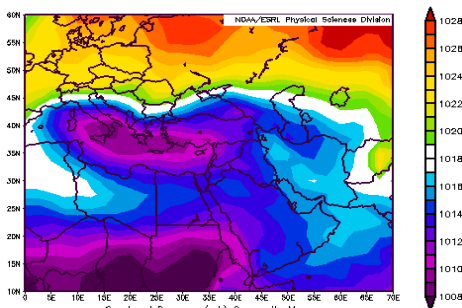
الگوی میانگین مربوط به شاخص PI

شکل ۱۷. الگوهای گردش جوی CP ۱۵ روی خاورمیانه طی دورهٔ آماری (۱۹۵۰-۲۰۰۸)

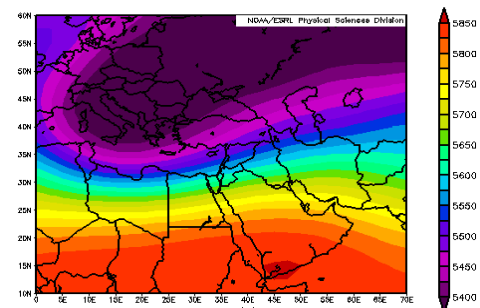
## الگوی گردش جوی CP16

نقشهٔ ترکیبی فشار تراز دریا در این الگو، بیانگر مرکز کم‌فشاری روی شمال دریای مدیترانه و کشور ایتالیا با مرکز ۱۰۱۰ هکتوپاسکال است. همچنین کم‌فشار دیگری با مرکز ۱۰۰۸ هکتوپاسکال روی سودان و دریای سرخ دیده می‌شود؛

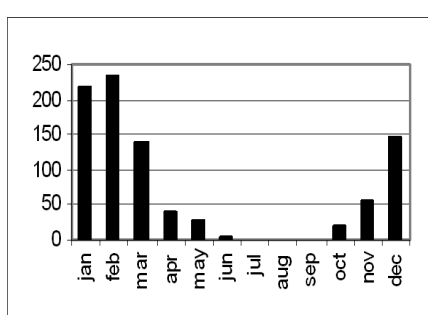
به طوری که زبانه‌های این دو مرکز کم‌فشار با هم ادغام شده و سراسر منطقه خاورمیانه، شمال افریقا، شبه‌جزیره عربستان و ایران را دربرگرفته است. در این الگو مانع برای حرکت به سوی شرق سامانه‌های بارشی دریای مدیترانه وجود ندارد و این سامانه‌ها می‌توانند از نوار شمالی ایران عبور کنند و سبب بارش باران در سواحل دریای خزر شوند. شاخص PI تمامی منطقه بزرگتر از یک است. بیشترین فراوانی این الگو نیز مربوط به دوره سرد سال است (شکل ۱۸).



الگوی میانگین فشار تراز دریا



الگوی میانگین ارتفاع ژئوپتانسیل ۵۰۰ هکتوپاسکال



توزیع سالانه الگوهای گردش

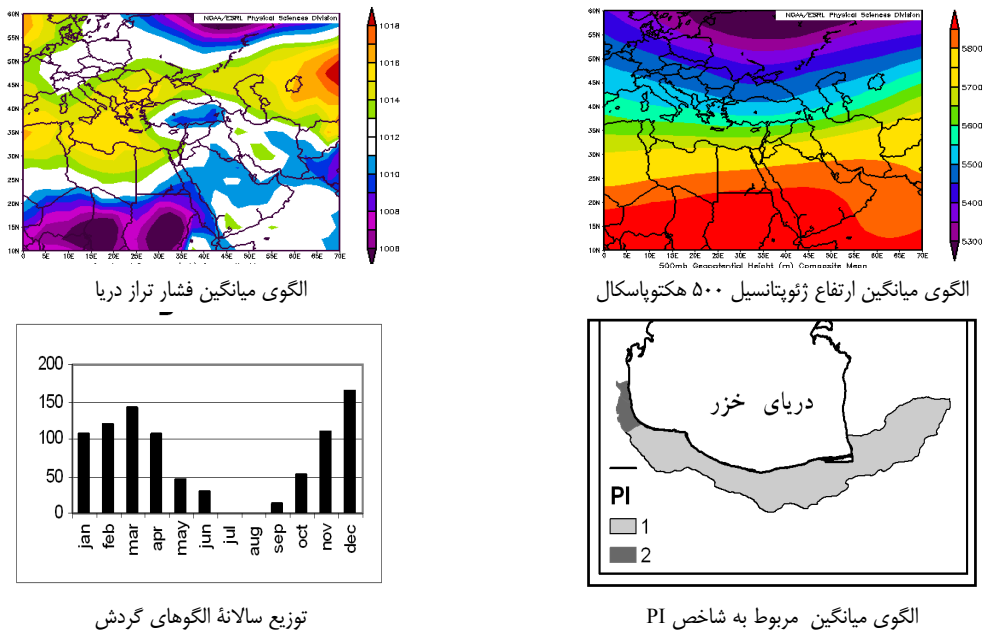


الگوی میانگین مربوط به شاخص PI

شکل ۱۸. الگوهای گردش جوی CP16 روی خاورمیانه طی دوره آماری (۱۹۵۰-۲۰۰۸)

## الگوی گردش جوی CP17

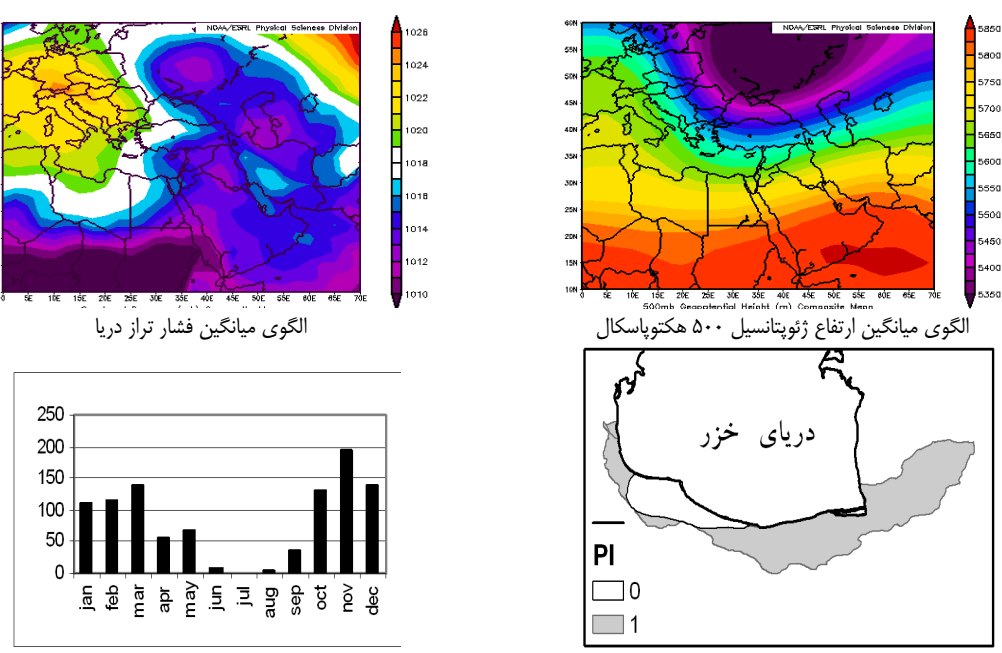
نقشه ترکیبی فشار سطح دریا مربوط به CP17، مرکز پرفشاری با ۱۰۲۲ هکتوپاسکال را روی سیبری نشان می‌دهد که زبانه آن تا شمال دریای خزر امتداد دارد. گسترش غرب به شرق این الگو نسبت به CP13 و CP9 کمتر است. در تراز ۵۰۰ هکتوپاسکال نیز جریان‌ها مداری هستند. آنچه الگوی CP17 را از دو الگوی CP13 و CP9 متمایز می‌کند، افزایش فشار سطح زمین است که سبب ایجاد جریان‌های شرقی و همگرایی آن در غرب دریای خزر می‌شود. این وضعیت، بارش را به ویژه در غرب استان گیلان افزایش می‌دهد. شاخص PI مربوط به این الگو، در تمام منطقه بزرگتر از یک است (شکل ۱۹).



شکل ۱۹. الگوهای گردش جوی CP17 روی خاورمیانه طی دوره آماری (۱۹۵۰-۲۰۰۸)

### الگوی گردش جوی CP18

الگوی گردش CP18، پرفشار با مرکز ۱۰۲۲ هکتوپاسکال را روی سیبری نشان می‌دهد که تا عرض‌های ۳۰ درجه گسترش دارد، امتداد شرق - غرب این پرفشار تا شمال دریای خزر گسترش یافته است. از نظر تغییرپذیری بلندمدت، این الگو روند معناداری ندارد و بیشترین فعالیت این تیپ هوا مربوط به ماه‌های اکتبر تا مارس است. شاخص PI مربوط به این الگو در تمام منطقه برابر یک است.



شکل ۲۰. الگوهای گردش جوی CP18 روی خاورمیانه طی دوره آماری (۱۹۵۰-۲۰۰۸)

## بحث و نتیجه‌گیری

در این مطالعه با استفاده از روش PCA و خوشبندی، هجده الگوی گردش براساس داده‌های فشار سطح دریا (SLP) و تراز ۵۰۰ هکتوپاسکال روی منطقه مورد مطالعه شناسایی و ویژگی‌های بارش‌زا و خشکی‌زا بودن آنها بر اساس شاخص PI مورد ارزیابی قرار گرفت. نتایج این بررسی حاکی از وجود اختلاف معنادار در آرایش الگوها، فراوانی تیپ‌های هوا و مسیر حرکت آنها به سوی منطقه مورد مطالعه است. به گفته‌ای، علل تنوع رژیم‌های بارش و به‌تبع آن دوره‌های خشک و مرطوب را می‌توان در نوع الگوهای گردشی و فراوانی آنها بررسی کرد.

شاخص PI معیار مناسبی برای بررسی احتمال شرطی وقوع بارش و شدت بارش است. چنانچه شاخص PI محاسبه شده برای یک تیپ هوا، خیلی کوچکتر از واحد شود، تیپ هوا در بارش آن ایستگاه یا آن منطقه نقش چندانی ندارد. بنابراین افزایش در فراوانی وقوع چنین الگویی در یک دوره، موجب کاهش بارندگی و رخداد خشکسالی در آن منطقه می‌شود. چنانچه شاخص PI برای یک تیپ هوا بیشتر از واحد باشد، احتمال بارش نیز افزایش می‌یابد. با توجه به شاخص PI و توزیع فراوانی سالانه، نتایج زیر را می‌توان خلاصه کرد.

الگوی گردش جوی CP<sub>1</sub>، CP<sub>4</sub>، CP<sub>5</sub>، CP<sub>6</sub>، CP<sub>12</sub> و CP<sub>15</sub>، جزء الگوهای بارش‌زا شدید و فراگیر در منطقه مورد مطالعه محسوب می‌شوند. الگوهای گردش جوی CP<sub>7</sub>، CP<sub>13</sub>، CP<sub>16</sub>، CP<sub>17</sub> و CP<sub>18</sub>، جزء الگوهای بارش‌زا ملائم در محدوده مورد پژوهش هستند. الگوهای گردش جوی CP<sub>2</sub>، CP<sub>9</sub>، CP<sub>10</sub> و CP<sub>11</sub>، در رده الگوهای خشکی‌زا فراگیر هستند. افزایش فراوانی و فعالیت این الگوها، می‌تواند باعث خشکسالی شدید و فراگیر در منطقه شود. الگوهای گردش جوی CP<sub>3</sub>، CP<sub>6</sub> و CP<sub>14</sub> نیز، در دسته الگوهای خشکی‌زا قرار دارند.

ار نظر توزیع فراوانی سالانه، الگوهای گردش جوی CP<sub>3</sub>، CP<sub>5</sub>، CP<sub>13</sub> و CP<sub>15</sub>، در تمام ماههای سال فعالیت و گسترش دارند. الگوهای گردش جوی CP<sub>2</sub>، CP<sub>6</sub> و CP<sub>10</sub>، فقط در فصل تابستان فعالیت دارند. الگوهای گردش جوی CP<sub>1</sub>، CP<sub>9</sub>، CP<sub>8</sub>، CP<sub>11</sub>، CP<sub>12</sub>، CP<sub>14</sub>، CP<sub>16</sub>، CP<sub>17</sub> و CP<sub>18</sub>، در سه فصل زمستان، بهار و پاییز فعالیت دارند و فقط الگوی گردش جوی CP<sub>7</sub> در دو فصل بهار و پاییز فعالیت دارد.

## منابع

- آرزومندی، ل. و حجازی‌زاده، ز. (۱۳۹۲). تحلیل سینوپتیکی بارش سنگین مارس ۲۰۰۹ ایران مرکزی. نخستین کنفرانس ملی آب و هواشناسی، ۳۱ اردیبهشت ماه تا ۱ خرداد ماه ۱۳۹۲، کرمان.
- باقری، ج. (۱۳۹۲). ارتباط الگوهای گردشی تراز ۵۰۰ هکتوپاسکال با تیپ‌های هوای منطقه اقلیمی کوهستانی ایران. فصلنامه تحقیقات جغرافیایی، دوره ۲۵، شماره ۹۶ صص. ۱۶۳۰-۱۶۲۳۸.
- جانباز قبادی، غ. ر؛ مفیدی، ع. و زرین، آ. (۱۳۹۰). شناسایی الگوهای همدید بارش‌های شدید زمستانه در سواحل جنوبی دریای خزر. جغرافیا و برنامه‌ریزی محیطی، دوره ۲۲، شماره ۲، صص. ۴۰-۲۳.
- حلبیان، ا. ح؛ حسینعلی پورجزی، ف. و صابری، ب. (۱۳۹۱). تحلیل همدید سامانه‌های سیل‌زا در قم (مطالعه موردی: سیلاب فروردین سال ۱۳۸۸). مطالعات جغرافیایی مناطق خشک، دوره ۲، شماره ۸، صص. ۱۳۷-۱۲۱.

- خوش‌اخلاق، ف؛ نبوی، س.ا. و عباسی، ا. (۱۳۹۱). تحلیل سامانه‌های همدید بارش‌های شدید دوره سرد سال در استان‌های خراسان رضوی و شمالی. نشریه جغرافیا و برنامه‌ریزی، دوره ۱۶، شماره ۴، صص. ۹۷-۱۱۸.
- خوشحال، ج. و خسروی، م. (۱۳۸۸). شناسایی منشا و مسیر رطوبت بارش‌های فوق سنگین استان بوشهر. جغرافیا و توسعه، دوره ۷، شماره ۱۶، صص. ۷-۲۸.
- رسولی، ع. ا؛ بابایان، ا؛ قائمی، ه و زوارضه، پ. (۱۳۹۱). تحلیل سری‌های زمانی فشار مراکز الگوهای سینوپتیکی مؤثر بر بارش‌های فصلی ایران. جغرافیا و توسعه، دوره ۱۰، شماره ۲۷، صص. ۷۷-۸۸.
- رضایی، پ. (۱۳۸۲). شناخت سیستم‌های سینوپتیکی سیل‌زا در جنوب دریای خزر (مطالعه موردی: حوضه شفارود). فضای جغرافیایی، دوره ۳، شماره ۱۰، صص. ۳۳-۵۶.
- شبانکاری، م. و حلیمان، ا. ح. (۱۳۹۱). تحلیل همدید ارتباط بین نوسان بارش روزانه در کرانه‌های جنوبی ایران و تغییرات فشار تراز دریا. فصلنامه تحقیقات جغرافیایی، دوره ۲۷، شماره اول، صص. ۱۷۹۳۷-۱۷۹۵۷.
- عساکر، ح؛ خوشرفتار، ر. و ستوده، ف. (۱۳۹۱). بارش‌های سنگین روزانه سیتمبر در ارتباط با الگوهای همدید در استان گیلان (۲۰۰۵-۱۹۷۶). پژوهش‌های جغرافیایی طبیعی، دوره ۴۴، شماره ۲، صص. ۵۱-۶۶.
- علیجانی، ب. و زاهدی، م. (۱۳۸۱). تحلیل آماری و سینوپتیکی بارندگی آذربایجان. فصلنامه تحقیقات جغرافیایی، دوره ۶۶، شماره ۳-۲، صص. ۲۱۷-۲۰۳.
- غیور، ح، مسعودیان، س.ا.، آزادی، م. و نوری، ح. (۱۳۹۰). تحلیل زمانی و مکانی رویدادهای بارشی سواحل جنوبی دریای خزر. فصلنامه تحقیقات جغرافیایی، دوره ۲۵، شماره ۱۰۰، صص. ۱۶۸۰۲-۱۶۷۷۲.
- فتاحی، ا. (۱۳۸۳). طبقه‌بندی همدیدی فضایی توده‌های هوا با تأکید بر دوره‌های خشک در حوضه‌های جنوب غربی ایران. پایان‌نامه دکترا، استاد راهنمای دکتر زهرا حاجزی‌زاده، رشته اقیم‌شناسی، دانشگاه خوارزمی تهران.
- فتاحی، ا. و رحیم‌زاده، ف. (۱۳۸۸). تأثیر پدیده انسو بر رفتار الگوهای گردشی جوی ایران. مجله جغرافیا و توسعه، دوره ۷، شماره ۱۵، صص. ۲۱-۴۴.
- فلاح، ق؛ موسوی بایکی، س.م؛ حبیبی نوخدان، م. و خوشحال، ج. (۱۳۸۸). بیش‌بینی بارش فصلی بر اساس الگوهای همدید با استفاده از تئوری مجموعه‌های فازی. جغرافیا و توسعه، دوره ۷، شماره ۱۵، صص. ۱۱۳-۱۳۲.
- قادری، ح. و علیجانی، ب. (۱۳۸۹). تحلیل سینوپتیکی بارش‌های شدید لارستان. فصلنامه جغرافیای طبیعی، دوره ۸، شماره ۸، صص. ۳۶-۱۷.
- کاشکی، ع؛ مسعودیان، س.ا. و حسینی، س.م. (۱۳۹۰). بورسی تیپ‌های همدید اقلیمی شمال شرق کشور و ارتباط آنها با سامانه‌های گردشی روز نماینده (مطالعه موردی: مشهد). جغرافیا و توسعه، دوره نهم، شماره ۲۵، صص. ۵۹-۷۸.
- لشکری، ح؛ اصغرپور، م. و متکان، ع.ا. (۱۳۸۷). تحلیل سینوپتیکی عوامل ایجاد بارش‌ای سیل‌زا در استان گلستان. فصلنامه مدرس علوم انسانی، دوره ۱۲، شماره ۲، صص. ۱۸۱-۲۱۱.
- لشکری، ح؛ قائمی، ه؛ حاجتی، ز. و امینی، م. (۱۳۹۱). تحلیل سینوپتیکی بارش‌های شدید در استان اصفهان. پژوهش‌های جغرافیایی طبیعی، دوره ۴۴، شماره ۴، صص. ۹۹-۱۱۶.
- محمدی، ب. و مسعودیان، س.ا. (۱۳۸۹). تحلیل همدید بارش‌های سنگین ایران (مطالعه موردی: آبان ماه ۱۳۷۳). جغرافیا و توسعه، دوره ۸، شماره ۱۹، صص. ۳۷-۷۰.
- مرادی، ح. ر. (۱۳۸۱). تحلیل همدیدی بارش‌های سواحل جنوبی دریای خزر در شش ماه سرد سال. مجله علوم دریایی ایران، دوره ۱، شماره ۲، صص. ۶۱-۷۲.

مرادی، ح. ر. (۱۳۸۵). پیش‌بینی وقوع سیالاب‌ها بر اساس موقعیت‌های سینوپتیکی در ساحل جنوبی دریای خزر، مجله پژوهش‌های جغرافیایی، دوره ۳۶، شماره ۵۵، صص. ۱۰۹-۱۳۱.

مفیدی، ع و زرین، آ. (۱۳۸۴). بررسی سینوپتیکی تأثیر سامانه‌های کم‌فشار سودانی در وقوع بارش‌های سیل‌زا در ایران. فصلنامه تحقیقات جغرافیایی، دوره ۷۷، شماره ۲، صص. ۱۱۳-۱۳۶.

مفیدی، ع؛ زرین، آ. و جانباز قبادی، غ. ر. (۱۳۸۶). تعیین الگوی همدیدی بارش‌های شدید و حدی پاییزه در سواحل جنوبی دریای خزر. فیزیک زمین و فضا، دوره ۳۳، شماره ۳، صص. ۱۵۱-۱۳۱.

نجف‌پور، ب. (۱۳۹۲). شناسایی الگوهای گردشی ایجادکننده سیالاب در جنوب غرب ایران (مورد: حوضه مُند). جغرافیا و توسعه، دوره یازدهم، شماره ۳۱، صص. ۹۷-۷۷.

Alijani, B., 2002, Variation of 500hpa Flow Patterns over Iran and Surrounding Areas and Their Relationship with Climate of Iran, Theoretical and Applied Climatology, Vol. 72, No. 1-2, PP. 41-54.

Bardossy, A. and Caspary, J.H., 1990, Detection of Climate Change in Europe by Analyzing European Atmospheric Circulation Patterns From 1881 To 1989, Theoretical and Applied Climatology, Vol. 42, No.3, PP. 155-167.

Bardossy, A. and Plate, E.J., 1992, Space-Time Model For Daily Rainfall Using Atmospheric Circulation Patterns, Water Resources Research, Vol. 28, No. 5, PP. 1247-1259.

Bogardi, I. ,1992, Estimating Space-Time Hydrological Quantities Under Climate Change, Fifth Int. Meeting on Statistical Climatology, 22-26 June 1992, Toronto.

Bogardi, I., Matyasovszky, I., Bardossy, A. and Duckstein, L., 1994, A Hydroclimatological Model of Areal Drought, Journal of Hydrol, Vol. 153, No. 1-4, PP. 245-264.

Bryson, R.A., 1966, Air Masses, Streamlines, and the Boreal Forest, Geographical Bulletin, Vol. 8, No. 3, PP. 228-269.

Buishand, T.A. and Brandsma, T., 1998, Comparison of Circulation Classification Schemes For Predicting Temperature and Precipitation in the Netherland, International Journal of Climatology, Vol, 17, No. 8, pp. 875 - 889

Chen, D. and Hellstrom, C., 1999, The Influence of the North Atlantic Oscillation on the Regional Temperature Variability in Sweden: Spatial and Temporal Variations, Tellus, Vol. 51, No. 4, PP. 505-516.

Elison Timm, O., Takahashi, M., Giambelluca, T.W. and Diaz, H.F., 2013, On the Relation Between Large-Scale Circulation Pattern and Heavy Rain Events Over the Hawaiian Islands: Recent Trends and Future Changes, *Journal of Geophysical Research: Atmospheres.*, 118, No. 10, PP. 4129-4141.

Esteban, P., Jones, P.D., Mart'In-Vide, J., Mases, M., 2005, Atmospheric Circulation Patterns Related to Heavy Snowfall Days in Andorra, Pyrenees, International Journal of Climatology, Vol. 25, No. 3, PP. 319-329.

Gadyial, S. and Lyengar, R.N., 1980, Cluster Analysis of Rain Full Stations of the Indian Peninsula, Quarterly Journal of the Royal Meteorological Society, Vol. 106, No. 450, PP. 873-886.

Huth, R., 1996, Anintercomparison of Computer Assisted Circulation Classification Methods, International Journal of Climatology, Vol. 16, No. 8, PP. 893-922.

Kalkstein, S., 1998, Determination of Character and Frequency Change in Air Masses Using Spatial Synoptic Classification, International Journal of Climatology, Vol. 18, No. 11, PP. 1223-1236.

Krichak, S.O., Tsidulko, M., Alpert, P., 2000, Monthly Synoptic Patterns Associated With Wet/Dry Conditions in the Eastern Mediterranean, Theoretical and Applied Climatology, Vol. 65, No. 3-4, PP. 215-229.

Raziei, T., Bordi, I., Pereira, L.S., Cortereal, J., Santos, J.A., 2012, Relationship between Daily Atmospheric Circulation Types and Winter Dry/Wet Spells in Western Iran, International Journal of Climatology, Vol. 32, No. 7, PP. 1056-1068.

- Richman, M.B., 1981, **Obliquely Rotated Principal Components: an Improved Meteorological Map Typing Technique?** Journal of Applied Meteorology, Vol. 20, No. 10, PP. 1145-1159.
- Romero, R., Sumner, G., Ramis, C., and Genoves, C., 1999, **A Classification of the Atmospheric Circulation Patterns Producing Significant Daily Rainfall in the Spanish Mediterranean Area**, International Journal of Climatology, Vol. 19, No. 7, PP. 765–785.
- Wibig, J., 1999, **Precipitation in Europe in Relation to Circulation Patterns at the 500 Hpa level**, International Journal of Climatology, Vol. 19, No. 3, PP. 253–269.
- Zhang, X., 1995, **Regional Climatic Variability and Climate Change Scenarios**, Ph.D. Dissertation, University of Lisbon.